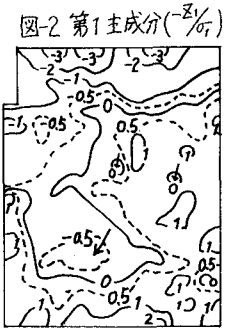
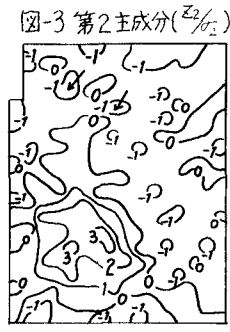


・第3主成分はNO.4と十の相関をもち、流水の上流からの流入による水災害に対する安全性を示している。

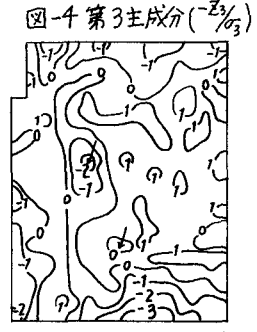
図-2,3,4に各主成分値の等値線図を示す。ただし、第1と3主成分は符号を逆にして危険側が正の値をとるようにし、各主成分ともそれぞれの標準偏差で除き基準化している。



($\sigma_1 = 1.636$)



($\sigma_2 = 1.458$)



($\sigma_3 = 0.975$)

次に(2)式により各主成分を重ねあわせた。

$$Z = -Z_1/\sigma_1 + Z_2/\sigma_2 - Z_3/\sigma_3 \quad (2)$$

Zを基準化したものの等値線図を図-5に示す。

5. クラスター分析

第1~3主成分値をクラスター分析にかけ、7群に分れた。クラスター分析には色々な手法が開発されているが、ここではEuclid距離によるWard法による結果を図-6に示す。

6. 図-7について

図-7に微高地、水害常襲地域、7リ-7密集地域の分布を示す。常襲地域は1年に1度は必ず浸水する地域、7リ-7密集地域はその面積が約5%以上の地域である。

7. 考察

水災害に対する危険度を考える場合、その判断材料を定量的なものだけに限定しても、それらをまとめることは非常に困難である。そこで、主観をまじえず、数学的に処理するために多変量解析の手法を用いた。

図-5,6,7を見比べればおおよそその一致があることがわかる。各主成分値を(2)式によて合成したため、図-5に示した値は性格が曖昧なものとなっているが、危険度を表わす指標として適当であると考えられたので採用した。ここに市街部の得点が大きく出ているが、これは第2主成分が大きいからである。人的被害という面を考えれば妥当であると考えられないだろうか。

クラスター分析は単に近い関係にあるもの同志を集めたものであるが、図-5,7と一致した傾向を表わしたのはおもしろい現象である。

多変量解析による処理は、その物理性の欠如の上から決定的な手段とはいえず、また、データの種類、地点数によって主成分の持つ意味も値も変動するという欠点をもつが、地域の概括的な姿を見る場合には有効な手段といえよう。なお、計算には九大大型電算センターFACOM230-75を用いた。

参考文献；奥野忠一他；多変量解析法、1971、同；統多変量解析法、1976、日科技連社；7リ-7密集地域



図-5

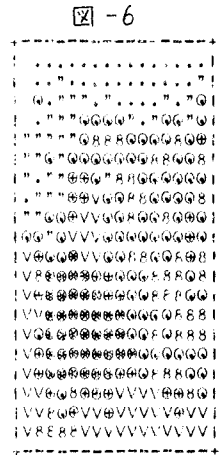


図-6

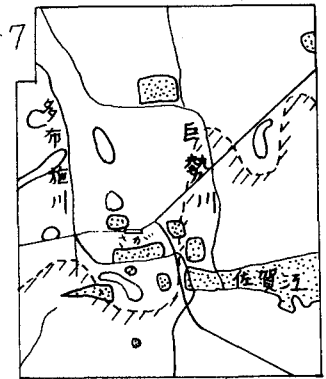


図-7

○：微高地 □：常襲地域